

بِسْمِ اللّٰهِ الرَّحْمٰنِ الرَّحِيْمِ



دانشگاه صنعتی اصفهان

دانشکده معدن

شبیه سازی سه بعدی ژئوفیزیکی کانی سازی در محدوده اندیس اکتشافی مس مزد ۵ – نظریه منظور طراحی نقاط بهینه حفاری

پایان نامه کارشناسی ارشد مهندسی اکتشاف معدن

محمد صادق علیزاده

استاد راهنما

دکتر نادر فتحیان پور

دکتر مرتضی طبائی



دانشگاه صنعتی اصفهان

دانشکده معدن

پایان نامه کارشناسی ارشد رشته مهندسی اکتشاف معدن آقای محمد صادق علیزاده تحت
عنوان

شبیه سازی سه بعدی ژئوفیزیکی کانی سازی در محدوده اندیس اکتشافی مس
مزد ۵ - نظریه منظور طراحی نقاط بھینه حفاری

در تاریخ ۱۳۸۶/۱۲/۲۳ توسط کمیته تخصصی زیر مورد بررسی و تصویب نهایی قرار گرفت.

دکتر نادر فتحیان پور

۱- استاد راهنمای اول پایان نامه

دکتر مرتضی طبائی

۲- استاد راهنمای دوم پایان نامه

دکتر سید حسن طباطبایی

۳- استاد مشاور پایان نامه

دکتر علی مرادزاده

۴- استاد داور

دکتر هوشنگ اسدی هارونی

۵- استاد داور

دکتر نادر فتحیان پور

سرپرست تحصیلات تکمیلی دانشکده

تقدیر و تشکر:

سپاس خدای را که توفیق عطا کرد تا مراحل تحصیلی خود را با موفقیت به پایان رسانده و از محضر اساتید بزرگوار این دانشگاه در جهت افزایش علم و معرفت استفاده نمایم.

با تشکر و قدردانی از خدمات جناب آقای دکتر فتحیانپور که بنده را در زمینه انجام این پروژه همراهی کردند. بی شک اگر زحمات و همکاریهای ایشان نبود انجام این پروژه ممکن نبود. همچنین از جناب آقای دکتر طبائی استاد راهنمای دوم و دکتر طباطبائی که زحمت مشاوره‌ی این پروژه بر عهده ایشان بود و جناب آقای دکتر اسدی هارونی و دکتر مرادزاده که قبول زحمت نموده و داوری این پایان نامه را بر عهده گرفته و مطالعه نمودند تشکر می‌نمایم.

لازم می‌دانم از زحمات تمامی اساتید بزرگواری که طی دوران کارشناسی ارشد از محضرشان استفاده نمودم تشکر و قدردانی کنم. امید است که این پروژه گامی در جهت افزایش سطح علمی دانشجویان و مقدمه‌ای برای ادامه پروژه‌های مقاومت ویژه و پلاریزاسیون القائی با مدل‌سازی سه بعدی جهت کشف و شبیه‌سازی دقیق کانسارها مرتبط در ایران قرار بگیرد.

کلیه حقوق مادی مترتب بر نتایج مطالعات،
ابتكارات و نوآوریهای ناشی از تحقیق موضوع
این پایان نامه متعلق به دانشگاه صنعتی
اصفهان است.

تقدیم به پدر و مادرم عزیزم که در تمام زندگی همراه و
همیار همیشگی من بوده‌اند

فهرست مطالب

| صفحه | عنوان |
|------|---|
| هشت | فهرست مطالب |
| ۱ | چکیده |
| | فصل اول: مقدمه و اهداف پایان نامه |
| ۲ | ۱-۱- مقدمه |
| ۲ | ۱-۲- کانسارهای مس و ضرورت اکتشاف آنها |
| ۴ | ۱-۳- روش‌های اکتشافی |
| ۵ | ۱-۴- اهمیت موضوع پایان نامه |
| | فصل دوم: مبانی روش‌های ژئوالکتریکی |
| ۶ | ۲-۱- انتخاب روش‌های ژئوفیزیکی مناسب |
| ۶ | ۲-۲- انواع روش‌های الکتریکی |
| ۶ | ۲-۲-۱- روش مقاومت‌ویژه ظاهری |
| ۸ | ۲-۲-۲- روش قطبش القائی |
| ۱۲ | ۲-۳- بررسی اثر توپوگرافی بر روی داده‌ها |
| ۱۳ | ۲-۴- انتخاب آرایه‌ی مناسب |
| | فصل سوم: مدل‌سازی عددی پیشرو داده‌های مقاومت ویژه و قطبش القائی |
| ۱۴ | ۳-۱- مقدمه |
| ۱۴ | ۳-۲- اهمیت مدل‌سازی پیشرو |
| ۱۵ | ۳-۳- روش‌های عددی مختلف در حل معادلات دیفرانسیلی |
| ۱۵ | ۳-۳-۱- روش اجزاء محدود |
| ۱۵ | ۳-۳-۲- روش تفاضل‌های محدود |
| ۱۶ | ۳-۳-۳- روش نقاط محدود |
| ۱۶ | ۳-۳-۴- روش معادلات انتگرالی |
| ۱۶ | ۳-۳-۵- روش المان مرزی |
| ۱۷ | ۳-۴- اساس روش تفاضل محدود |
| ۱۷ | ۳-۵- فرمولاسیون مدل‌سازی پیشرو داده‌های مقاومت ویژه الکتریکی |
| ۱۷ | ۳-۵-۱- بررسی روابط پایه |
| ۱۸ | ۳-۵-۲- شرایط مرزی |
| ۲۰ | ۳-۵-۳- بررسی مدل‌سازی پیشرو سه‌بعدی به روش تفاضل محدود |
| ۲۷ | ۶-۶- حذف تکینگی |
| ۳۰ | ۷-۷- مدل‌سازی پیشرو داده‌های قطبش القائی |
| | فصل چهارم: پیاده سازی الگوریتم مدل‌سازی پیشرو سه‌بعدی و صحت سنجی آن |
| ۳۲ | ۴-۱- مقدمه |

| صفحه | عنوان |
|------|---|
| ۳۲ | ۴-۲- بررسی نتایج مدل سازی پیشرو مقاومت ویژه الکتریکی برای مدل های مصنوعی |
| ۳۲ | ۴-۲-۱- مدل دایک قائم |
| ۳۵ | ۴-۲-۲- منشور قائم در زمین دو لایه ای |
| ۳۷ | ۴-۲-۳- بررسی و حذف اثر توپوگرافی در داده های مقاومت ویژه |
| ۴۱ | ۴-۲-۴- بررسی مدل سازی پیشرو برای زمین تک شیب همراه با یک منشور مقاوم |
| ۴۳ | ۴-۳- بررسی نتایج مدل سازی پیشرو قطبش القائی برای مدل های مصنوعی |
| ۴۳ | ۴-۳-۱- منشور بارپذیر درون زمین بدون توپوگرافی |
| ۴۶ | ۴-۳-۲- منشور بارپذیر درون زمین با توپوگرافی تک شیب |
| ۴۸ | ۴-۴- بررسی اثر حذف تکینگی |
| ۴۹ | ۴-۴-۱- فرمولاسیون تحلیلی دایک قائم |
| ۵۰ | ۴-۴-۲- مقایسه هی نتایج |
| | فصل پنجم: مدل سازی معکوس داده های اندیس اکتشافی مس مزده - نظر |
| ۵۲ | ۵-۱- مبانی مدل سازی معکوس |
| ۵۲ | ۵-۱-۱- تعریف مدل سازی معکوس |
| ۵۳ | ۵-۱-۲- انواع مدل سازی معکوس |
| ۵۶ | ۵-۱-۳- استفاده از قیود در مدل سازی معکوس |
| ۵۷ | ۵-۱-۴- محاسبه هی فاکتور تعدیل به کمک روش رگرسیون ریج |
| ۵۸ | ۵-۱-۵- نحوه محاسبه تابع حساسیت برای نیم فضای همگن |
| ۶۰ | ۵-۱-۶- مقایسه تکنیک های بهینه سازی گوس - نیوتون و شبیه - نیوتون در معکوس سازی |
| ۶۱ | ۵-۱-۷- مدل سازی معکوس قطبش القائی |
| ۶۳ | ۵-۲- بررسی نتایج مدل سازی معکوس برای مدل های مصنوعی |
| ۶۳ | ۵-۲-۱- مدل سازی معکوس مقاومت ویژه برای یک منشور |
| ۶۶ | ۵-۲-۲- مدل سازی معکوس قطبش القائی برای دایک قائم |
| ۶۸ | ۵-۳- موقعیت جغرافیایی محدوده اندیس اکتشافی مس مزده - نظر |
| ۶۸ | ۵-۴- زمین شناسی محدوده |
| ۷۱ | ۵-۵- طراحی و برداشت عملیات ژئوفیزیکی در محدوده |
| ۷۲ | ۵-۶- بررسی نتایج حاصل از معکوس سازی |
| ۷۳ | ۵-۶-۱- مقاطع و شبیه مقاطع مقاومت ویژه و قطبش القائی حاصل از پروفیل ۳ |
| ۷۴ | ۵-۶-۲- مقاطع و شبیه مقاطع مقاومت ویژه و قطبش القائی حاصل از پروفیل ۴-۴ |
| ۷۵ | ۵-۶-۳- مقاطع و شبیه مقاطع مقاومت ویژه و قطبش القائی حاصل از پروفیل ۴ |
| ۷۶ | ۵-۶-۴- مقاطع و شبیه مقاطع مقاومت ویژه و قطبش القائی حاصل از پروفیل ۵-۵ |
| ۷۸ | ۵-۶-۵- مقاطع و شبیه مقاطع مقاومت ویژه و قطبش القائی حاصل از پروفیل ۵ |
| ۷۹ | ۵-۷- تفسیر مقاطع |
| ۷۹ | ۵-۷-۱- پروفیل ۳ |

| <u>عنوان</u> | <u>صفحه</u> |
|---|-------------|
| ۳-۴-پروفیل | ۷۹ |
| ۴-۳-۷-۵ پروفیل | ۷۹ |
| ۴-۵-پروفیل | ۷۹ |
| ۵-۵-۷-۵ پروفیل | ۷۹ |
| ۸-۵-مدل سه بعدی نهایی | ۸۰ |
| ۱-۸-۵-مدل های سه بعدی نهایی برای داده های مقاومت ویژه | ۸۰ |
| ۲-۸-۵-مدل های سه بعدی نهایی برای داده های قطبش القائی | ۸۳ |
| فصل ششم: نتیجه گیری و پیشنهادات | |
| ۱-۶-نتیجه گیری | ۸۶ |
| ۲-۶-پیشنهادات | ۸۷ |
| پیوست | ۸۹ |
| مراجع | ۹۲ |
| چکیده انگلیسی | ۹۴ |

فهرست اشکال

| <u>عنوان</u> | <u>صفحه</u> |
|--|-------------|
| شکل(۱-۱): نمایش عیار - ذخیره انواع کانسارهای مس | ۳ |
| شکل(۲-۱): روند تغییرات ذخایر، عیار قابل استخراج، قیمت و مصرف جهانی مس | ۳ |
| شکل(۱-۲): مدل نیم فضای همگن | ۷ |
| شکل(۲-۲): قطع و وصل جریان و اثر جریان اضافی | ۸ |
| شکل(۲-۳): پدیده قطبش القائی الکتروودی | ۹ |
| شکل(۴-۱): ایجاد قطبش غشایی در اثر باریک شدن مجاري عبور یونها | ۹ |
| شکل(۵-۱): ایجاد پدیده IP غشایی در اثر وجود ذرات رس و رشته‌هایی از کانی‌های الایافی | ۹ |
| شکل(۶-۱): اندازه‌گیری انتگرال زیر سطح منحنی افت پتانسیل برای برداشت‌های IP | ۱۰ |
| شکل(۷-۱): نمایش اختلاف فاز بین منحنی پتانسیل و منحنی جریان | ۱۱ |
| شکل(۸-۱): تأثیر توپوگرافی در الگوی خطوط جریان در زمین همگن | ۱۲ |
| شکل(۱-۳): انواع مدل‌های مختلف یک بعدی، دو بعدی و سه بعدی | ۱۴ |
| شکل(۲-۳): نمایش جهت مثبت فرض شده برای محورهای مختصات در حل مسئله پیشرو سه بعدی | ۲۱ |
| شکل(۳-۳): مدل مش‌بندی در حالت سه بعدی | ۲۳ |
| شکل(۴-۳): خطای حاصل از تکینگی | ۲۸ |
| شکل(۵-۳): مقایسه نتایج حاصل از حذف تکینگی با نتایج تحلیلی | ۲۹ |
| شکل(۶-۳): مقایسه نتایج حاصل از حذف تکینگی با نتایج تحلیلی | ۳۰ |
| شکل(۷-۳): مقایسه نتایج حاصل از حذف تکینگی بهبود یافته در یک زمین دو لایه‌ای | ۳۰ |
| شکل(۸-۳): اندازه‌گیری IP در یک سیکل تزریق تا قطع جریان | ۳۱ |
| شکل(۱-۴): دایک قائم و نحوه‌ی مش‌بندی در مدل‌سازی سه بعدی | ۳۳ |
| شکل(۲-۴): مقایسه‌ی نتایج بدست آمده از دو مدل برای پرش‌های الکتروودی $n=1,2,\dots,8$ | ۳۴ |
| شکل(۳-۴): مقطع بدست آمده از مدل‌سازی دو بعدی و سه بعدی | ۳۴ |
| شکل(۴-۴): مدل زمین دو لایه‌ای همراه با یک منشور در مرکز و نحوه‌ی مش‌بندی آن | ۳۵ |
| شکل(۵-۴): مقایسه نتایج حاصل از دو مدل برای یک ساختار | ۳۶ |
| شکل(۶-۴): مقطع مقاومت ویژه ظاهری بدست آمده از مدل‌سازی پیشرو دو بعدی و مدل‌سازی... | ۳۷ |
| شکل(۷-۴): مش‌بندی زمین با توپوگرافی تک شیب در مدل‌سازی دو بعدی و صفحه X-Z مدل... | ۳۸ |
| شکل(۸-۴): مقایسه نتایج مدل‌سازی سه بعدی با مدل‌سازی دو بعدی برای زمین تک شیب | ۳۹ |
| شکل(۹-۴): مقاطع بدست آمده برای زمین همگن با توپوگرافی تک شیب | ۴۰ |
| شکل(۱۰-۴): مقایسه بین نتایج مدل‌سازی پیشرو دو بعدی و سه بعدی برای زمین با توپوگرافی... | ۴۰ |
| شکل(۱۱-۴): مقاطع حاصل از مدل‌سازی پیشرو دو بعدی و سه بعدی | ۴۱ |
| شکل(۱۲-۴): نمایش مش مرکزی مدل | ۴۲ |
| شکل(۱۳-۴): مقایسه بین نتایج حاصل از دو مدل برای n های مختلف | ۴۳ |
| شکل(۱۴-۴): مقطع حاصل از دو مدل‌سازی برای ساختار شکل(۱۲-۴) | ۴۳ |
| شکل(۱۵-۴): نمایش بلوک بارپذیر انتخاب شده درون زمین با مقاومت ویژه ۱۰۰۰ اهم - متر | ۴۴ |

| صفحه | عنوان |
|------|---|
| ٤٥ | شکل(٤-١٦): مقایسه نتایج حاصل از مدل‌سازی دوبعدی و سه‌بعدی پیشرو داده‌های قطبش القائی |
| ٤٦ | شکل(٤-١٧): مقاطع حاصل از مدل‌سازی دوبعدی و سه‌بعدی برای ساختار شکل(٤-١٥) |
| ٤٦ | شکل(٤-١٨): نمایش مشبندی زمین |
| ٤٨ | شکل(٤-١٩): مقایسه نتایج بارپذیری ظاهری بدست آمده برای مدل دوبعدی و سه‌بعدی در ... |
| ٤٨ | شکل(٤-٢٠): مقاطع بدست آمده از مدل‌سازی دوبعدی و سه‌بعدی برای شکل(٤-١٨) |
| ٤٩ | شکل(٤-٢١): محل تصویرهای جریان در نزدیکی یک دایک قائم |
| ٥٠ | شکل(٤-٢٢): نمایش موقعیت دایک و نقاط اندازه‌گیری پتانسیل |
| ٥١ | شکل(٤-٢٣): اثر حذف تکینگی در نزدیکی الکترود جریان |
| ٥١ | شکل(٤-٢٤): نمایش خطای نتایج عددی با فاصله گرفتن از محل الکترود جریان |
| ٥٣ | شکل(٥-١): محاسبه مقاومت ویژه هر سلول در معکوس‌سازی دوبعدی |
| ٥٨ | شکل(٥-٢): تعیین فاکتور تعدیل |
| ٥٩ | شکل(٣-٥): محاسبه تابع حساسیت در نقطه (Z, Y, X) برای آرایه قطبی -قطبی |
| ٦٠ | شکل(٤-٥): پارامترهای مورد استفاده در محاسبهٔ مشتقات جزئی برای یک منشور مستطیلی ... |
| ٦٥ | شکل(٥-٥): نحوهٔ مشبندی و موقعیت منشور در صفحهٔ $X-Z$ (الف)، مدل نهایی بدست ... |
| ٦٧ | شکل(٥-٦): نحوهٔ مشبندی و موقعیت دایک در صفحهٔ $Y-Z$ (الف)، مدل نهایی بدست ... |
| ٦٩ | شکل(٥-٧): نقشهٔ موقعیت جغرافیایی و راههای دسترسی به محدوده |
| ٦٩ | شکل(٨-٥): نقشهٔ زمین‌شناسی محدوده اکتشافی مزده |
| ٧٠ | شکل(٩-٥): موقعیت رگه، ترانشه‌ها و محل عکس‌های گرفته شده |
| ٧٠ | شکل(١٠-٥): آتراسیون پروپیلیتیک در حاشیه و دور از رگه |
| ٧٠ | شکل(١١-٥): رگچه‌های بافت استوکورک در محدوده اکتشافی |
| ٧١ | شکل(١٢-٥): نقشهٔ توپوگرافی و موقعیت پروفیل‌های برداشت شده روی آن، رگهی مینرالیزه ... |
| ٧٣ | شکل(١٣-٥): شبه مقاطع مقاومت‌ویژه ظاهری مشاهده شده و محاسبه شده حاصل از معکوس‌سازی ... |
| ٧٣ | شکل(١٤-٥): شبه مقاطع بارپذیری ظاهری مشاهده شده و محاسبه شده حاصل از معکوس‌سازی ... |
| ٧٣ | شکل(١٥-٥): مقاطع مقاومت‌ویژهٔ واقعی و بارپذیری واقعی زیر سطحی حاصل از معکوس‌سازی ... |
| ٧٤ | شکل(١٦-٥): شبه مقاطع مقاومت‌ویژهٔ ظاهری مشاهده شده و محاسبه شده حاصل از معکوس‌سازی ... |
| ٧٤ | شکل(١٧-٥): شبه مقاطع بارپذیری ظاهری مشاهده شده و محاسبه شده حاصل از معکوس‌سازی ... |
| ٧٤ | شکل(١٨-٥): مقاطع مقاومت‌ویژهٔ واقعی حاصل از مدل‌سازی سه‌بعدی و مدل‌سازی دوبعدی با ... |
| ٧٥ | شکل(١٩-٥): مقاطع بارپذیری واقعی حاصل از مدل‌سازی سه‌بعدی و مدل‌سازی دوبعدی با نرم‌افزار ... |
| ٧٥ | شکل(٢٠-٥): شبه مقاطع مقاومت‌ویژهٔ ظاهری مشاهده شده و محاسبه شده حاصل از معکوس‌سازی ... |
| ٧٥ | شکل(٢١-٥): شبه مقاطع بارپذیری ظاهری مشاهده شده و محاسبه شده حاصل از معکوس‌سازی ... |
| ٧٦ | شکل(٢٢-٥): مقاطع مقاومت‌ویژهٔ واقعی و بارپذیری واقعی زیر سطحی حاصل از معکوس‌سازی ... |
| ٧٦ | شکل(٢٣-٥): شبه مقاطع مقاومت‌ویژهٔ ظاهری مشاهده شده و محاسبه شده حاصل از معکوس‌سازی ... |
| ٧٦ | شکل(٢٤-٥): شبه مقاطع بارپذیری ظاهری مشاهده شده و محاسبه شده حاصل از معکوس‌سازی ... |
| ٧٧ | شکل(٢٥-٥): مقاطع مقاومت‌ویژهٔ واقعی حاصل از مدل‌سازی سه‌بعدی و مدل‌سازی دوبعدی با ... |

| صفحه | عنوان |
|------|--|
| ۷۷ | شکل(۲۶-۵): مقاطع بارپذیری واقعی حاصل از مدل سازی سه بعدی و مدل سازی دو بعدی با نرم افزار ... |
| ۷۸ | شکل(۲۷-۵): شبه مقاطع مقاومت ویژه ظاهری مشاهده شده و محاسبه شده حاصل از معکوس سازی ... |
| ۷۸ | شکل(۲۸-۵): شبه مقاطع بارپذیری ظاهری مشاهده شده و محاسبه شده حاصل از معکوس سازی ... |
| ۷۸ | شکل(۲۹-۵): مقاطع مقاومت ویژه واقعی و بارپذیری واقعی زیر سطحی حاصل از معکوس سازی ... |
| ۸۰ | شکل(۳۰-۵): سه نمای مختلف از ساختار زیر سطحی توزیع مقاومت ویژه با حد مرزی ۱۳۰۰ اهم ... |
| ۸۱ | شکل(۳۱-۵): سه نمای مختلف از ساختار زیر سطحی توزیع مقاومت ویژه با حد مرزی ۶۰۰ اهم ... |
| ۸۲ | شکل(۳۲-۵): سه نمای مختلف از ساختار زیر سطحی توزیع مقاومت ویژه با حد مرزی ۵۰۰۰ اهم ... |
| ۸۳ | شکل(۳۳-۵): سه نمای مختلف از ساختار زیر سطحی توزیع بارپذیری با حد مرزی ۲۰ میلی ثانیه |
| ۸۴ | شکل(۳۴-۵): سه نمای مختلف از ساختار زیر سطحی توزیع بارپذیری با حد مرزی ۳۰ میلی ثانیه |
| ۸۵ | شکل(۳۵-۵): سه نمای مختلف از ساختار زیر سطحی توزیع بارپذیری با حد مرزی ۴۵ میلی ثانیه |
| ۸۷ | شکل(۶-۱): موقعیت، عمق و شیب گمانه‌ی پیشنهادی روی پروفیل ۴-۳ |

فهرست جداول

| صفحه | عنوان |
|------|--|
| ۱۳ | جدول(۱-۲): مقایسه برتری نسبی چند آرایه |
| ۳۵ | جدول(۱-۴): مشخصات هندسی و فیزیکی مدل |
| ۴۱ | جدول(۲-۴): مشخصات هندسی و فیزیکی مدل |
| ۴۴ | جدول(۳-۴): مشخصات هندسی و فیزیکی منشور و محیط |
| ۴۷ | جدول(۴-۴): مشخصات هندسی و فیزیکی مدل شکل (۱۸-۴) |
| ۶۴ | جدول(۱-۵): مشخصات منشور مقاوم برای تست معکوس سازی |
| ۶۶ | جدول(۲-۵): مشخصات هندسی و فیزیکی دایک و محیط بارپذیر جهت تست مدل معکوس |

چکیده

افزایش قیمت فلزات و کاربرد فراوان آن در زندگی انسان نیاز روزافزون به کشف ذخایر فلزی را ایجاب می‌کند. از آنجا که کشور ایران روی کمربند مس جهانی واقع است اکتشاف کانسارهای مس و مدل‌سازی صحیح آنها حائز اهمیت می‌باشد. رشد سریع کامپیوتر امکان مدل‌سازی کانسارهای پیچده به صورت عددی را فراهم کرده است. روش‌های مختلف عددی در مدل‌سازی کانسارها به کار می‌رود که هر کدام یکسری معایب و مزایای خاص خود را دارد.

به منظور شیوه‌سازی دقیق کانسارها نیاز به مدل‌سازی معکوس می‌باشد. هسته اصلی مدل‌سازی معکوس، مدل‌سازی پیشرو است. در این پایان‌نامه از روش تفاضل محدود که یک روش عددی قدرتمند در حل معادلات دیفرانسیلی است جهت حل معادله حاکم بر محیط استفاده شده است. بعد از گسسته‌سازی معادله حاکم به روش تفاضل محدود، برنامه مدل‌سازی پیشرو و معکوس آن به کمک نرم‌افزار Matlab نوشته شده است.

در ابتدا برنامه‌ی نوشته شده بر روی مدل‌های مصنوعی جهت تست میزان صحت و دقت برنامه آزمایش شده است. نتایج حاصل از مدل‌های مصنوعی رضایت بخش بوده است. در ادامه این برنامه برای شیوه‌سازی سه‌بعدی کانسار مس مزده از توابع شهرستان نظرز به عنوان یک مورد عملی به کار رفته است. برنامه نوشته شده برای ۵ پروفیل P3، P4، P34، P45 و P5 از ۱۲ پروفیل برداشت شده روی این کانسار اجرا شده است. نتایج حاصل برای دو پروفیل P34 و P45 با نتایج بدست آمده از نرم‌افزار Res2dinv که یک نرم‌افزار مدل‌سازی معکوس دوبعدی داده‌های مقاومت‌ویژه و قطبش القائی می‌باشد مقایسه شده است. در پایان نمایهای مختلف سه‌بعدی از مدل نهایی بدست آمده برای کانسار در زیر این ۵ پروفیل برای حد مرزهای مختلف از توزیع بارپذیری و مقاومت‌ویژه رسم شده است.

نتایج بدست آمده نشان داده است که کانسار مربوطه گسترش عمقی زیادی ندارد (حداکثر ۵۰ تا ۶۰ متر). بارپذیری بالا در پروفیل‌های P3 و P34 دیده می‌شود. با توجه به مدل بارپذیر سه بعدی نهایی پیشنهاد می‌گردد بعد از الیت بندی کانسار فوق و تعیین درجه اهمیت آن یک گمانه بر روی پروفیل P34 با زاویه ۷۵ درجه نسبت به افق و به سمت غرب و در فاصله‌ی ۷۵ متری از ابتدای پروفیل و تا حد اکثر عمق ۸۰ متر به منظور تأیید یا عدم تأیید ماده معدنی و صحت مدل‌سازی حفر گردد.

۱-۱- مقدمه

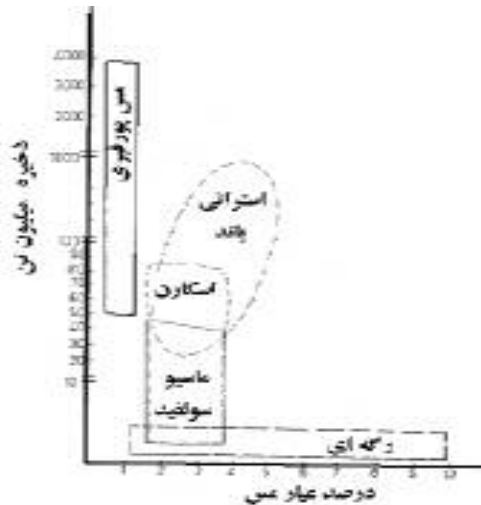
بشر از آغاز پیدایش پیوسته برای ادامه حیات به زمین و مواد تشکیل دهنده آن متکی بوده است. بنابراین کانی‌های موجود در پوسته زمین به نسبت اهمیت، همیشه مورد توجه انسان بوده و تلاش برای یافتن کانسارهای جدید و یا گسترش و استفاده هر چه بیشتر از کانسارهای موجود همچنان ادامه دارد. از میان انواع فراوان کانی‌ها، کانی‌های فلزی از جایگاه خاصی برخوردار هستند. نیاز روز افزون به فلزات پایه نظیر آهن، مس، سرب و روی از یک طرف و کاهش منابع سهل‌الوصول و سطحی این عناصر از طرف دیگر موجب شده تا ذخایر عمیق‌تر این فلزات مورد توجه قرار گیرند، بنابراین کشف این کانسارها روش‌های پیشرفته‌تر و پیچیده‌تر را در مطالعات اکتشافی طلب می‌کند.

وجود خاستگاه مناسب جهت تشکیل ماده معدنی نیز علاوه بر روش‌های اکتشافی مؤثر از اهمیت ویژه‌ای برخوردار است. کمربند ولکانیکی ارومیه- دختر که در نتیجه فرورانش پوسته اقیانوسی نووتیس به زیر صفحه ایران مرکزی تشکیل شده است، دارای اهمیت ژنتیکی بالایی می‌باشد. این کمربند ولکانیکی محل مناسبی جهت پی‌جويی و اکتشاف مس پورفیری می‌باشد. حضور کانسارهای بزرگی همچون مس سرچشم، میدوک و سونگون و دیگر ذخایر کوچک و بزرگ در این زون، همچنین ارزش افزوده بالای فلز مس و عناصر همراه آن ضرورت پی‌جويی و اکتشافات کانسارهای مس را در این زون نشان می‌دهد.

طرح اکتشاف کانسار مس مزده- نظر واقع در کمربند ولکانیکی ارومیه- دختر در راستای اکتشاف ذخایر مس پرفیری و رگه‌ای در این منطقه انجام شده است.

۱-۲- کانسارهای مس و ضرورت اکتشاف آنها

کانسارهای مهم مس عبارتند از: مس پورفیری، اسکارن‌های مس‌دار، ماسیوسولفیدهای مس‌دار، کانسارهای مس رسوی استراتی‌باند و ذخایر مس رگه‌ای. نمودار عیار و میزان ذخیره آنها در شکل (۱-۱) نشان داده شده است.

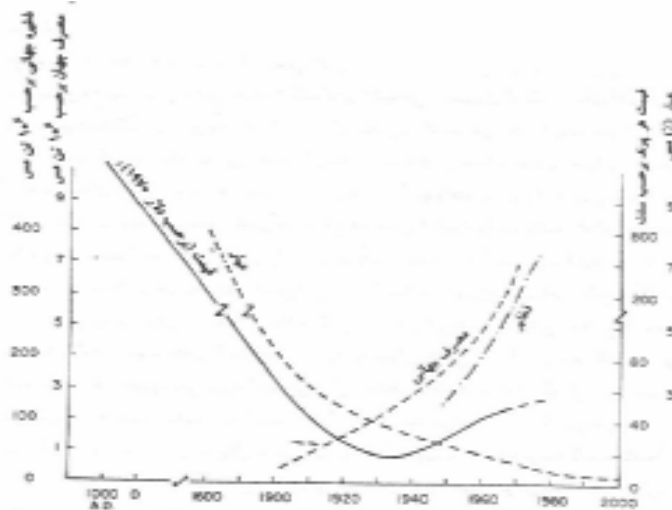


شکل (۱-۱): نمایش عیار- ذخیره‌ی انواع کانسارهای مس [۱]

کانسارهای مس- مولیبدن پورفیری برای اولین بار در دهه‌ی دوم قرن بیستم در آمریکای شمالی شناخته شده‌اند. از آن زمان این واژه برای طیف وسیعی از کانسارهای سولفیدی پراکنده مرتبط با توده‌های نفوذی تشکیل شده در کمربند کوهزایی بکار برده شد. ترکیب سنگ‌های نفوذی درونگیر کانسار مس- مولیبدن پورفیری از اسیدی تا متوسط تغییر می‌کند. معمول‌ترین ترکیب سنگ‌های درونگیر ترکیب کوارتز مونزونیتی می‌باشد، اما ترکیبات گوناگونی از سینیت تا دیوریت نیز گاهاً دیده شده است.

افزایش اهمیت ذخایر تیپ پورفیری به عنوان منابع جهانی مس، مولیبدن و فلزات با ارزش چون طلا، نقره، سلینیوم و تلوریم توجه بیش از حد به برنامه‌های اکتشافی این تیپ کانسارها را توجیه می‌کند. شکل (۲-۱) روند تاریخی تولید و مصرف مس را نشان می‌دهد. حد پایینی عیار قابل استخراج در شکل نشان دهنده استفاده از ذخایر با

عیار پایین و میزان ذخیره بالا (آنچه در نوع پورفیری مشهود است) در سال‌های اخیر است:



شکل (۲-۱): روند تغییرات ذخایر، عیار قابل استخراج، قیمت و مصرف جهانی مس [۲]

۱-۳- روش‌های اکتشافی

روش‌های اکتشاف نظیر روش‌های ژئوشیمی و ژئوفیزیکی، روش‌هایی هستند که نسبت به روش‌های حفاری بسیار ارزان‌تر و کم هزینه‌تر هستند، لذا این روش‌ها در بسیاری موارد باعث کاهش ریسک‌های هزینه و ادامه عملیات اکتشافی و سرمایه‌گذاری می‌شوند.

روش‌های مختلف ژئوشیمیابی مبتنی بر کشف هاله‌های اولیه و ثانویه می‌باشند. ترتیب به کارگیری روش‌های ژئوشیمیابی برای کشف این تیپ کانسارها، کشف هاله‌های ثانویه از طریق بررسی حوضه‌های آبریز و نمونه برداری از رسوبات آبراهه‌ای و فلزسنجی خاک‌های برجاست. مرحله‌ی بعدی نمونه برداری لیتوژئوشیمیابی از سنگ درونگیر هاله می‌باشد.

روش‌های ژئوفیزیکی بر اساس کشف تغییرات یک یا چند ویژگی فیزیکی زمین ناشی از وجود آنومالی در محل، کار می‌کنند. انواع روش‌های ژئوفیزیکی عبارتند از: روش مغناطیسی، روش گراویتی، روش‌های الکتریکی، روش‌های الکترومغناطیسی، می‌باشد. چون روش ژئوفیزیکی به کار گرفته شده در این پروژه جزو روش‌های الکتریکی می‌باشد، لذا بیشتر به آن پرداخته شده است.

هدف بررسی‌های الکتریکی این است که توزیع مقاومت زیر سطحی را با اندازه‌گیری روی سطح زمین مشخص کنیم. روش مقاومت ویژه از دهه ۱۹۲۰ با کارهای برادران شلمبرژه آغاز شد. تا حدود ۶۰ سال بعد از بررسی‌های سوندایزنی الکتریکی به طور معمول جهت تفسیر استفاده می‌شد. امروزه کارهای صحراوی با انواع آرایه‌های مختلف می‌تواند انجام شود لذا طراحی و انتخاب یک آرایه باید قبل از برداشت صورت گیرد.

برداشت‌های صورت گرفته مقادیر ظاهری پارامتر مدل را بدست می‌دهند و برای بدست آوردن مقادیر پارامترهای واقعی نیاز به مدل‌سازی معکوس است. شب مقاطع الکتریکی نتایج گمراه کننده‌ای دارند و ممکن است مقطع مدل معکوس هیچ شباهتی به مقاطع ظاهری نداشته باشد. این امر مدل‌سازی معکوس در بدست آوردن یک مدل واقعی از داده‌های خام را ضروری می‌کند.

- روش مقاومت ویژه (RS) و قطبش القائی^۱ (IP) در اکتشاف کانسارها

یکی از مهمترین روش‌های الکتریکی روش مقاومت ویژه و قطبش القائی می‌باشد که غالباً به طور همزمان برداشت می‌شوند. چون در این تکنیک‌ها از چشممه‌ی مصنوعی جريان استفاده می‌شود لذا می‌توان با کنترل منبع مصنوعی جريان نتایج کمی و دقیق بدست آورد. از این لحاظ این دو روش بر سایر روش‌های الکتریکی برتری دارند. عمده‌ترین عیب روش مقاومت ویژه حساسیت زیاد آن به تغییرات کوچک مقاومت در مجاورت سطح زمین می‌باشد، به عبارت دیگر سطح نویز بالا است.

برداشت‌های IP امروزه به طور وسیعی در کشف سولفیدهای پراکنده کاربرد دارند. اخیراً برداشت‌های IP کاربردهایی در محیط زیست پیدا کرده است. پاسخ IP زباله‌های دفن شده بسیار شدید می‌باشد (بیش از ۱۰۰ میلی ثانیه). تحقیقاتی نیز راجع به تشخیص اثرات هیدروکربن‌ها و سایر آلوده‌کننده‌ها روی ظرفیت تبادل یونی رس‌های و نتایج آن در پاسخ IP صورت گرفته است.

¹ - Induced Polarization (IP)

۱-۴- اهمیت موضوع پایان نامه

شیوه سازی دو بعدی ژئوفیزیکی روش متداول در نمایش و تفسیر داده های خام برداشت شده می باشد. مدل سازی دو بعدی در بسیاری از ساختارهای زمین شناسی نتایج قابل قبولی می دهد و هنوز هم به طور گسترده استفاده می شود. این امر به علت زمان و هزینه کم صرف شده برای انجام آن می باشد اما در شرایطی که با زمینی با ساختارهای پیچیده مواجهیم نیاز به مدل سازی سه بعدی می باشد و نتایج دو بعدی تفسیرهای اشتباه به دست خواهند داد.

پیشرفت در مدل سازی و معکوس سازی، تفاسیر صحیح تر و قابل فهم تر برای ژئوفیزیکدانان و زمین شناسان یک پروژه اکتشافی فراهم خواهد کرد. نمایش شبه مقاطع برداشت های IP-RS تنها برای ارزیابی کیفی داده ها و به عنوان قدم قبل از معکوس سازی مطرح است و نمی تواند نمایش درستی از توزیع بار پذیری و مقاومت ویژه زیر سطحی باشد. این جاست که روش های مختلف معکوس سازی و معایب و مزایای هر یک مطرح شده و اهمیت خود را نشان می دهد.

در این پایان نامه سعی شده است با نوشتمن برنامه مدل سازی پیشرو و معکوس سه بعدی داده های مقاومت ویژه و قطبش القائی گامی در جهت شناساندن اهمیت و جایگاه مدل سازی سه بعدی و آشنایی با روند انجام آن برداشته شود. در فصل دوم مقدمه ای راجع به روش قطبش القائی و روش مقاومت سنجی ارائه شده است. در فصل سوم مبانی مدل سازی پیشرو داده های IP-RS بیان شده است. در فصل چهارم نتایج برنامه ای مدل سازی پیشرو نوشته شده به منظور صحبت سنجی آن برای مدل های مصنوعی آورده شده است و در فصل پنجم مبانی مدل سازی معکوس و تست برنامه ای نوشته شده برای آن، روی مدل های مصنوعی بیان شده است. در ادامه برنامه ای نوشته شده روی داده های عملی برداشت شده برای کانسال مس مزده - نظر اجرا و نتایج حاصل از آن با نتایج حاصل از نرم افزار معکوس سازی دو بعدی Res2dinv برای دو پروفیل مقایسه شده است. نهایتاً در فصل آخر نتیجه گیری و پیشنهادات لازم برای ادامه ای این پژوهه بیان شده است و در پایان الگوریتم کلی که برنامه نویسی بر اساس آن انجام شده است در پیوست آورده شده است.

برنامه نوشته شده به طور کامل سه بعدی است اما تحصیل داده ها به صورت سه بعدی برای محدوده ای اندیس اکتشافی مس مزده - نظر از ابتدا در نظر گرفته نشده بود و لذا مدل سازی انجام شده با استفاده از داده های برداشت شده ای دو بعدی صورت گرفته است.

فصل دوم

مبانی روش‌های ژئوالکتریکی

۱-۱- انتخاب روش‌های ژئوفیزیکی مناسب

در پروژه‌های اکتشافی بسته به اینکه در کدام مرحله اکتشاف باشیم یکسری عملیات طراحی می‌شود. بررسی‌های ژئوفیزیکی به عنوان یک تکنیک مؤثر در اکتشافات ذخایر معدنی هم در مراحل اولیه و هم در مراحل نهایی و تفصیلی عملیات اکتشافی کاربرد دارد. بسته به هدف مربوطه، وسعت منطقه‌ی مورد نظر در اکتشاف، میزان بودجه‌ی موجود در هر مرحله، روش ژئوفیزیکی مناسب با آن انتخاب می‌شود.

روش‌های هوابردی و دورسنجی به علت وسعت زیاد منطقه‌ی تحت پوشش معمولاً در مراحل اولیه اکتشاف (یعنی مرحله‌ی پی‌جوبی) کاربرد دارد. روش‌های ژئوالکتریکی در مراحل اکتشاف مقدماتی، نیمه‌تفصیلی و تفصیلی کاربرد دارد.

۲-۱- انواع روش‌های الکتریکی

۱- روش مقاومت‌ویژه ۲- روش قطبش القائی ۳- روش پتانسیل خودزا

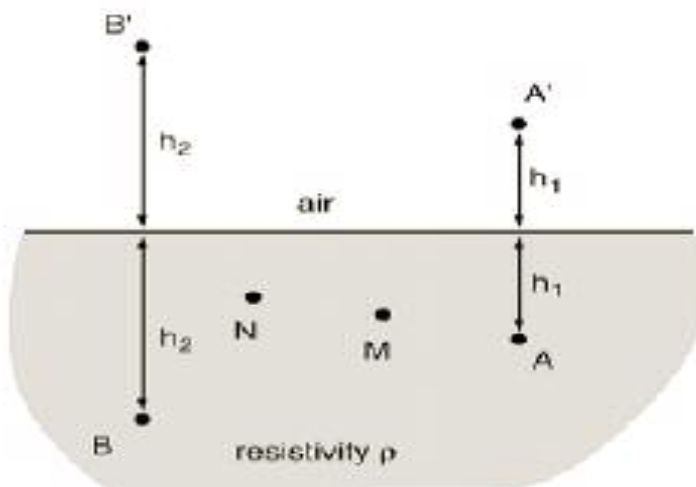
۲-۲- روش مقاومت‌ویژه

در برداشت‌های صحرائی با تزریق جریان الکتریکی به زمین، مقدار اختلاف پتانسیل بین دو نقطه اندازه‌گیری می‌شود. اگر A و B به ترتیب الکترودهای مثبت و منفی جریان باشد و I مقدار جریان تزریق شده به زمین باشد و همچنین ΔV اختلاف پتانسیل اندازه‌گیری شده توسط دو الکترود M و N که در فاصله معینی از A و B قرار دارند باشد، مقدار مقاومت‌ویژه ظاهری به صورت زیر محاسبه می‌شود.

$$\rho_{app} = G \frac{\Delta V}{I} = GR \quad (1-2)$$

که در آن G فاکتور هندسی^۱ می‌باشد. مقدار G را به دو روش تحلیلی^۲ و روش عمومی(کلی)^۳ می‌توان محاسبه کرد.[۳]

$$\rho_{app} = GR \quad G = \frac{4\pi}{\left(\frac{1}{AM} - \frac{1}{AN} - \frac{1}{BM} + \frac{1}{BN} - \frac{1}{A'M} - \frac{1}{A'N} - \frac{1}{B'M} - \frac{1}{B'N}\right)} \quad (۴-۲)$$



شکل (۴-۲): مدل نیم فضای همگن[۳]

به منظور تفسیر آسان نتایج، بهتر است اختلاف پتانسیل بین پتانسیل واقعی و پتانسیلی که تحت شرایطی که زمین همگن است و در شرایط یکسان است محاسبه و مورد بررسی قرار گیرد. نسبت $\frac{\Delta v}{\Delta v_0}$ که در آن Δv اختلاف پتانسیل بدست آمده در سرزمین و Δv_0 اختلاف پتانسیل در یک زمین همگن با همان شرایط می‌باشد، می‌تواند به تنهایی به عنوان « مقاومت ویژه ظاهری » بررسی شود، البته در صورتی که مقاومت ویژه محیط همگن مرجع برابر واحد انتخاب شود. اگر مقاومت ویژه محیط مرجع برابر ρ_0 انتخاب شود آنگاه مقاومت ویژه ظاهری به صورت زیر بدست می‌آید:[۳]

$$\rho_{app} = \frac{\Delta v}{\Delta v_0} \rho_0 \quad (۴-۲)$$

اگر جریان I به زمین تزریق شده باشد داریم:

$$\rho_{app} = \frac{(\Delta v/I)}{(\Delta v_0/I)} \rho_0 = \frac{R}{R_0} \rho_0 = \frac{\rho_0}{R_0} R = GR \quad (۴-۲)$$

که در آن R_0 مقاومت محاسبه شده برای محیط همگن می‌باشد. مقدار فاکتور هندسی کلی بر اساس معادله‌ی بالا به

$$\text{صورت } G = \frac{\rho_0}{R_0} \text{ تعریف می‌شود.}$$

^۱ - Geometric Factor

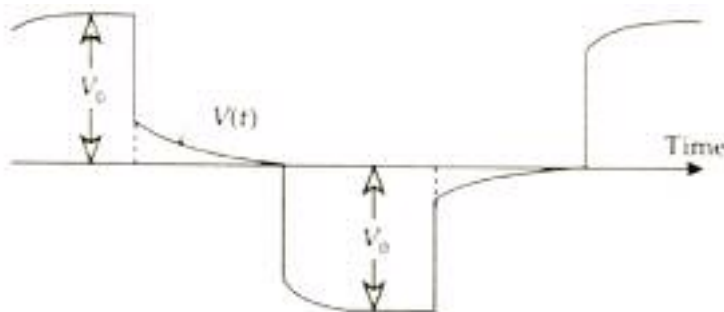
^۲ - Analytical Approach

^۳ - General Approach

۲-۲-۲- روش قطبش القائی

روش قطبش القائی از عکس العمل خازنی^۱ زمین که عمدتاً برای کشف زون‌های حاوی کانی‌های فلزی سولفیدی پراکنده درون سنگ میزبان و همچنین کشف کانی‌های رسی استفاده می‌کند. همچنین از این روش برای ترسیم عکس العمل‌های الکتروشیمیایی برای آلودگی‌های زیست محیطی استفاده می‌شود.

زمانی که جریان به زمین تزریق می‌شود پتانسیل یک افزایش ناگهانی یافته و سپس در طول زمان افزایش تدریجی می‌یابد تا به مقدار ثابت خود می‌رسد. بعد از قطع جریان نیز پتانسیل یک باره صفر نمی‌شود بلکه مدتی طول می‌کشد تا ولتاژ دو سر الکترودهای پتانسیل واپشیده شود(شکل ۲-۲). این پدیده به اثر جریان اضافی یا قطبش القائی معروف می‌باشد.



شکل (۲-۲): قطع و وصل جریان (به صورت مستقیم و معکوس) و اثر جریان اضافی

الف- منشأ قطبش القائی

پدیده‌ی قطبش القائی و مکانیزم الکتروشیمیائی آن پیچیده می‌باشد. اگرچه تلاش‌هایی در دهه‌های اخیر به منظور پی بردن به پدیده‌ی اصلی که باعث ایجاد قطبش القائی در سنگ‌ها و خاک‌ها می‌شود صورت گرفته است. از جمله انتشار یونها نزدیک کانی‌های فلزی و یون‌های متاخر ک درون الکتروولیتها پرکننده‌ی خلل و فرج می‌توان به عنوان منشأ قطبش القائی نام برد. علت دقیق قطبش القائی هنوز روشن نشده است ولی بیشترین احتمال این است که این پدیده از تأثیر مشترک چند فرایند فیزیکی و شیمیایی حاصل می‌شود. با این وجود دو مکانیزم اصلی که قابل درک و معقولانه می‌باشد عبارت است از [۶،۵،۴]:

۱- قطبش دانه‌ای^۲ (یا الکتروودی یا ولتاژ اضافی)

۲- قطبش غشائی^۳ (یا الکتروولیتی)

۱- قطبش الکتروودی

جریان تزریق شده به زمین از طریق حرکت یونها درون آبهای زیرزمینی و گذشتن از فضاهای متخلخل و یا شکستگی‌های درون سنگ صورت می‌گیرد. اگر مسیر این یونها توسط کانی‌های خاص مانند کانی‌های فلزی مسدود شده باشد، انتقال جریان توسط الکترونهای فلزی صورت می‌گیرد و یونها مثبت و منفی در دو طرف این کانی فلزی اباسته می‌شوند(شکل ۲-۳). با قطع جریان این یونها به تدریج و طی یک مدت زمان خاص واپشیده شده و پدیده‌ی قطبش القائی را بوجود می‌آورند.

¹ - Capacitive action

² - Grain (electrode) Polarization (Over voltage)

³ - Membrane (electrolytic) polarization